

- 137-142.
- [10] 陈左权, 张桂运, 顾斌贤, 等. 颅内后循环远端动脉瘤的介入治疗[J]. 中华神经外科杂志, 2007, 23: 837-839.
- [11] 李吻, 赵瑞, 洪波, 等. 血管内治疗大脑后动脉动脉瘤的疗效[J]. 中华神经外科杂志, 2015, 31: 436-439.
- [12] 纪文军, 康慧斌, 孙立倩, 等. 未破裂大脑后动脉夹层动脉瘤的血管内治疗[J]. 中国卒中杂志, 2015, 10: 918-922.
- [13] Andreou A, Ioannidis I, Mitsos A. Endovascular treatment of peripheral intracranial aneurysms[J]. AJNR Am J Neuroradiol, 2007, 28: 355-361.
- [14] Peluso JP, van Rooij WJ, Sluzewski M, et al. Distal aneurysms of cerebellar arteries: incidence, clinical presentation, and outcome of endovascular parent vessel occlusion[J]. AJNR Am J Neuroradiol, 2007, 28: 1573-1578.
- [15] Biondi A, Jean B, Vivas E, et al. Giant and large peripheral cerebral aneurysms: etiopathologic considerations, endovascular treatment, and long-term follow-up[J]. AJNR Am J Neuroradiol, 2006, 27: 1685-1692.
- [16] 李佑祥, 刘爱华, 吕明, 等. 大脑后动脉动脉瘤的血管内治疗[J]. 中华医学杂志, 2006, 86: 2033-2036.
- [17] Gao X, Liang G, Li Z, et al. Intra-aneurysmal onyx embolization for distal aneurysms of the cerebellar arteries[J]. Neurol Res, 2012, 34: 211-216.
- [18] Cognard C, Weill A, Tovi M, et al. Treatment of distal aneurysms of the cerebellar arteries by intraaneurysmal injection of glue[J]. AJNR Am J Neuroradiol, 1999, 20: 780-784.
- [19] Suh SH, Kim DJ, Kim DI, et al. Management of anterior inferior cerebellar artery aneurysms: endovascular treatment and clinical outcome[J]. AJNR Am J Neuroradiol, 2011, 32: 159-164.
- [20] Cavalcanti DD, Abla AA, Martirosyan NL, et al. Endovascular management of distal ACA aneurysms: single-institution clinical experience in 22 consecutive patients and literature review[J]. AJNR Am J Neuroradiol, 2013, 34: 1593-1599.
- [21] Waldenberger P, Petersen J, Chemelli A, et al. Endovascular therapy of distal anterior cerebral artery aneurysms: an effective treatment option[J]. Surg Neurol, 2008, 70: 368-377.
- [22] Sturiale CL, Brinjikji W, Murad MH, et al. Endovascular treatment of distal anterior cerebral artery aneurysms: single-center experience and a systematic review[J]. AJNR Am J Neuroradiol, 2013, 34: 2317-2320.
- [23] Vora N, Thomas AJ, Gupta R, et al. Endovascular treatment of distal anterior cerebral artery aneurysms: technical results and review of the literature[J]. J Neuroimaging, 2010, 20: 70-73.
- [24] Kashiwazaki D, Ushikoshi S, Asano T, et al. Endovascular treatment for aneurysms of the posterior cerebral artery: 12 years' experience with 21 cases[J]. Acta Neurochir (Wien), 2011, 153: 2151-2158.
- [25] Ciceri EF, Klucznik RP, Grossman RG, et al. Aneurysms of the posterior cerebral artery: classification and endovascular treatment[J]. AJNR Am J Neuroradiol, 2001, 22: 27-34.

(收稿日期:2015-11-12)  
(本文编辑:边信)

## ·病例报告 Case report·

### 抗血小板药物诱导颅内多发出血 1 例

梁晓东, 汪勇峰, 李天晓

【关键词】 抗血小板药物; 颅内出血; 血栓弹力图

中图分类号:R743.4 文献标志码:D 文章编号:1008-794X(2016)-04-0285-02

Intracranial multiple hemorrhages induced by antiplatelet agents: report of one case LIANG Xiao-dong, WANG Yong-feng, LI Tian-xiao. Comprehensive Stroke Center, Zhengzhou University People's Hospital, Henan Provincial People's Hospital, Zhengzhou, Henan Province 450003, China

Corresponding author: LI Tian-xiao, E-mail: dr.litianxiao@vip.163.com

【Key words】 antiplatelet agent; intracranial hemorrhage; thromboelastography (J Intervent Radiol, 2016, 25: 285-286)

DOI:10.3969/j.issn.1008-794X.2016.04.002

作者单位: 450003 郑州大学人民医院(河南省人民医院)高级卒中中心

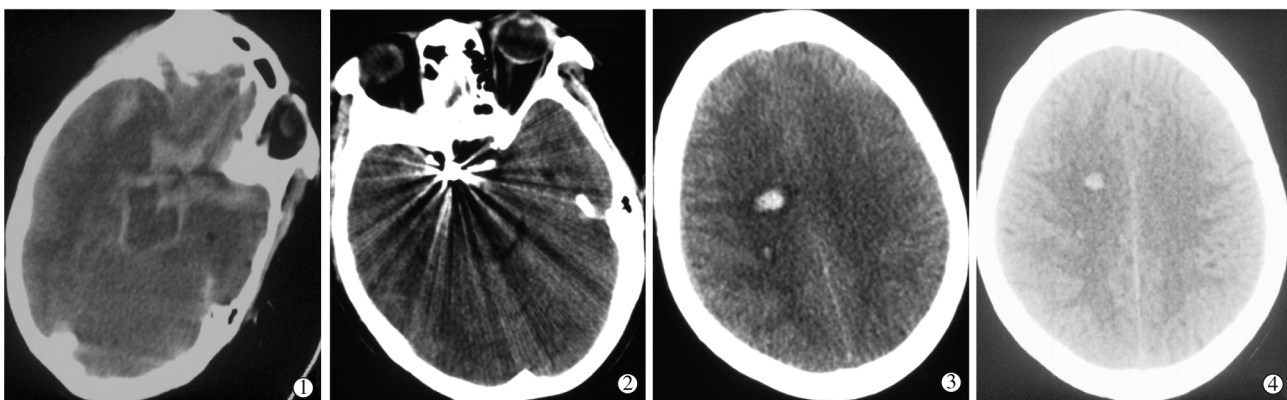
通信作者: 李天晓 E-mail: dr.litianxiao@vip.163.com

## 临床资料

患者女 54岁。以“突发剧烈头痛6 h余”主诉急诊入院，发病后2 h头CT示：蛛网膜下腔出血；术前 Hunt-Hess 分级3级；查体：神志清，双侧外展神经受限，左侧面部瘫痪，左侧肢体肌力IV级，右侧V级，双侧 Babinski 征阳性，脑膜刺激征阳性；既往高血压史3年。入院当天在全麻下行“脑血管造影术+右侧颈内动脉脉络膜前动脉起始处动脉瘤支架辅助栓塞术”，术中造影可见右侧颈内动脉动脉瘤，瘤颈约5 mm，深4 mm，长度约7 mm，瘤体上可见脉络膜前动脉发出及1个子囊，术中植入1枚4.5 mm×22 mm Enterprise 支架辅助栓塞，复查造影显示动脉瘤栓塞良好，载瘤动脉通畅；术后即刻头CT未见颅内新发出血。

术中常规肝素化，且支架植入前给予替罗非班8 μg/kg(3 min内静脉推注完毕)，继而以每分钟0.1 μg/kg静脉维持，至术后22 h减半，同时给予负荷剂量氯吡格雷300 mg联合阿司匹林300 mg替换，2 h后停用替罗非班。第7天头

颅CT示颅内新发出血；第11天行血栓弹力图(TEG)检测示：阿司匹林抑制率100%，有效范围为>50%；氯吡格雷抑制率98.8%，有效范围为>30%；ADP的MA值，6.9 mm，参考范围为31~47 mm；CYP2C19基因检测显示基因型为快代谢型，遂于术后第12天，更改药物为阿司匹林100 mg/d联合氯吡格雷25 mg/d。第14天复查头CT示：右侧基底节区及侧脑室脚旁新发出血。结合CT及TEG结果，经综合评估出血与血栓风险后，考虑颅内多发出血为双抗药物所致，故而术后15 d停用氯吡格雷，仅服用阿司匹林100 mg/d。术后第22 d(出院前2 d)复查TEG示：阿司匹林抑制率87.2%，氯吡格雷抑制率52.2%，ADP的MA值31.2 mm；结合患者病情及CT结果综合评估后认为患者出血风险仍较高，遂于术后第24天出院时调整阿司匹林为50 mg/d长期口服。图1及表1分别显示颅内出血演变过程及不同抗血小板治疗方案后的TEG检测结果。



①术前头颅CT示蛛网膜下腔出血；②术后7 d CT示动脉瘤栓塞术后改变，但大脑镰旁可见新发出血；③术后14 d CT示右侧基底节区及侧脑室脚旁新发出血；④术后37 d CT示出血渐吸收

图1 颅内多发出血患者手术前后图像

表1 不同用药方案下血栓弹力图检测结果

检测时间	AA抑制率 (%)	ADP抑制率 (%)	ADP的MA值 /mm
双抗期间(A+B)	100.0	98.8	6.9
调整方案后(A)	87.2	52.2	31.2
术后4个月余(A1)	92.0	31.7	43.6

注：A+B：阿司匹林100 mg联合氯吡格雷75 mg；A：阿司匹林100 mg；A1：阿司匹林50 mg

## 讨论

近年来，颅内破裂动脉瘤支架辅助栓塞技术得到了广泛应用，然而，围手术期抗凝、抗血小板治疗却没有统一的量化标准。近期一项Meta分析显示，支架辅助栓塞颅内破裂动脉瘤系列研究中，血栓栓塞事件发生率、术中出血率、术后出血率分别为：11.2%(95%CI, 9.2%~13.6%)，5.4%(95%CI, 4.1%~7.2%)，3.6%(95%CI, 2.6%~5.1%)<sup>[1]</sup>。

对于支架辅助栓塞患者，术后需常规抗血小板药物治疗<sup>[2]</sup>，本例患者术后即刻头颅CT未见新发出血，但双抗治疗期间(第7 d)复查CT可见颅内新发出血；TEG结果显示患者对氯吡格雷及阿司匹林均为药物高反应，且ADP的MA值提示该患者具有较高出血倾向。结合本中心经验，颅内破裂

动脉瘤支架辅助栓塞术后抗血小板治疗期间，对较高出血风险者，术后7 d内应行头CT检查以明确有无新发出血；同时可行TEG检测对抗血小板治疗进行定量评估以调整用药<sup>[3]</sup>，但其指导用药作用，仍有待进一步研究证实。

## 参 考 文 献

- Ryu CW, Park S, Shin HS, et al. Complications in stent-assisted endovascular therapy of ruptured intracranial aneurysms and relevance to antiplatelet administration: a systematic review[J]. AJNR Am J Neuroradiol, 2015, 36: 1682-1688.
- 黄志伟, 李学东, 覃军, 等. Solitaire AB支架辅助栓塞颅内动脉瘤临床随访研究[J]. 介入放射学杂志, 2015, 24: 282-286.
- McTaggart RA, Choudhri OA, Marcellus ML, et al. Use of thromboelastography to tailor dual-antiplatelet therapy in patients undergoing treatment of intracranial aneurysms with the Pipeline embolization device[J]. J Neurointerv Surg, 2015, 7: 425-430.

(收稿日期：2015-05-11)

(本文编辑：俞瑞纲)